



بررسی ژئوشیمیایی، کالن شناسی و سنگ‌زایی سنگ‌های آداسیتی جنوب شرق جلفا (شمال غرب ایران)

فرهاد محرومی گرگری^{۱*}، سید محمد پورمعافی^۱، منصور قربانی^۱، میرصالح میرمحمدی^۲

۱- دانشکده علوم زمین، دانشگاه شهید بهشتی تهران

۲- دانشکده مهندسی معدن، پردیس دانشکده‌های فنی، دانشگاه تهران

(دریافت مقاله: ۹۳/۱/۲۴، نسخه نهایی: ۹۳/۴/۳)

چکیده: گند نیمه ژرف کیامکی در فاصله‌ی ۲۵ کیلومتری جنوب شهرستان جلفا (استان آذربایجان شرقی) واقع شده است. سنگ‌های این گند ترکیب چیره داسیتی داشته ولی با فاصله‌ی کیامکی، در کمان معروف به قلنچ بافت و ترکیب گرانودیوریتی نشان می‌دهند. مقادیر SiO_2 آن‌ها برابر ۶۴-۷۳ درصد وزنی و عدد منیزیم آن‌ها در بازه‌ی ۲۷-۵۷ تغییر می‌کند. بر پایه‌ی ویژگی‌های ژئوشیمیایی، این سنگ‌ها از نوع آداسیت‌های پرسیلیس رده بندی می‌شوند. در نمودارهای هارکر روندهای جدایشی عناصر مختلف نسبت به SiO_2 نمود داشته و در عین حال روند عمومی خطی سنگ‌های مورد بررسی می‌تواند نشانگر خاستگاه یکسان آن‌ها باشد. در نمودارهای عنکبوتی چند عنصری، سنگ‌های منطقه به مانند سنگ‌های وابسته‌به فرورانش حاشیه فعال قاره‌ای، به صورت مشخص از عناصر لیتوفیل با شاعر یونی بزرگ (LILE) غنی شدگی و از Nb و HFSE تنهی شدگی نشان می‌دهند. بر اساس سرشتی‌های ژئوشیمیایی؛ مثل مقادیر Th و نسبت‌های Th/Ce، Th/Sm و ایزوتوبی Sr و Nd، محیط تشکیل این گند پسا برخورد بوده و با مدل زایشی ناشی از ذوب بخشی سنگ‌های مافیک پوسته‌ی قاره‌ای ضخیم شده، سازگارتر است. با توجه به مدل زایشی و محیط تشکیل این سنگ‌ها، سن میوسن پایانی گند مورد بررسی و سن بسته‌شدن میوسن تحتانی و قبل از آن برای نئوتیتیس، نمی‌توان پیدایش این سنگ‌ها را به طور مستقیم در ارتباط با فرایندهای ژئودینامیکی نئوتیتیس در ارتباط دانست.

واژه‌های کلیدی: کیامکی؛ آداسیت؛ پسا برخورد؛ ذوب بخشی پوسته‌ی قاره‌ای ضخیم شده.

سرشتهای مختلف ضروری کرده است.

فرورانش نئوتیتیس به زیر بلوك ایران مرکزی باعث فعالیت‌های ماجمایی گسترده در کمرنگ‌ماگمایی ارومیه- دختر در ایران شده است. این کمرنگ در راستای شمال‌غربی- جنوب شرقی، تقریباً موازی گسل زاگرس (محل فرورانش نئوتیتیس)، در نقشه‌های زمین‌شناسی ایران دیده می‌شود (شکل ۱). ژئوشیمی سنگ‌های این کمرنگ خصوصیات سنگ‌های محیط‌های فرا فرورانشی را نشان می‌دهند [۲]. در بررسی سنگ‌های مناطق مرکزی و جنوب شرقی این کمرنگ،

مقدمه

یکی از یافته‌های زمین‌شناسی به نسبت جدید در ایران که با بررسی سنگ‌های ماجمایی به خصوص سنگ‌های آتشفسانی حاصل شده است، گزارش وجود سنگ‌هایی با سرشت آداسیتی است. آداسیت‌ها ترکیب حدواسط تا اسیدی داشته و با مقادیر بالای Y/Sr و La/Yb_(n) مشخص می‌شوند [۱]. تشخیص چنین سنگ‌هایی در ایران لزوم بررسی بیشتر و دقیق خاستگاه و جایگاه زمین‌ساختی سنگ‌های آتشفسانی را برای پی بردن به علل رخداد ماجماتیسم، تفاوت آن‌ها و پیدایش سنگ‌های با

*نویسنده مسئول، تلفن: ۰۲۱۲۲۴۸۵۰۸۵، نامبر: ۰۲۱۲۲۴۸۵۱۲۴، پست الکترونیکی: moharamifarhad@yahoo.com

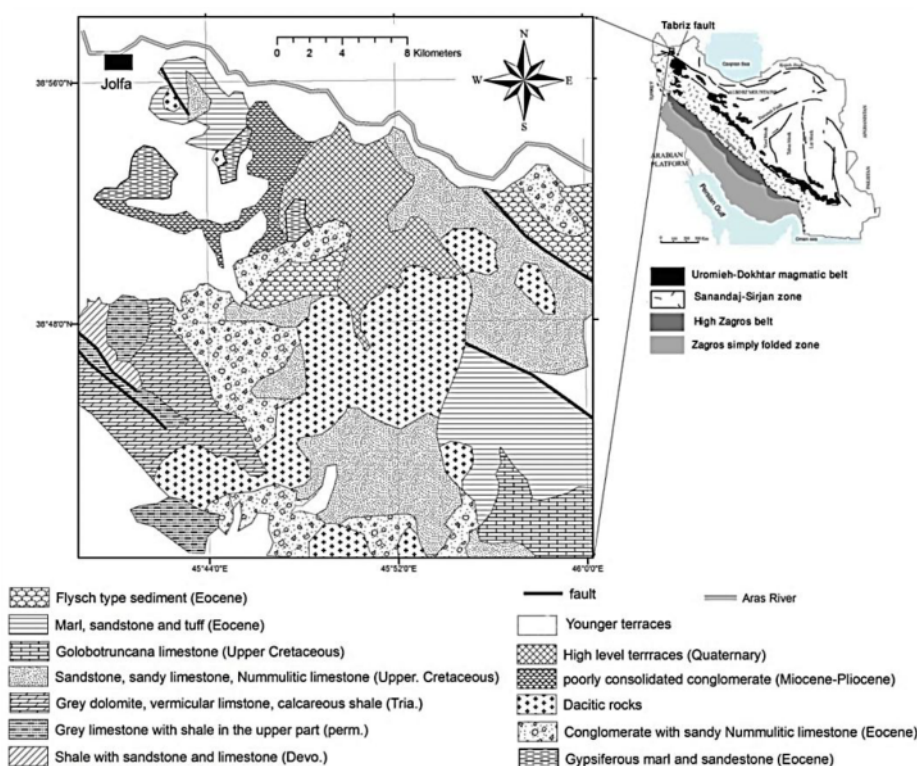
با روند شمال غربی-جنوب شرقی هستند که دارای ارتفاعی حدود ۳۳۴۷ متر از سطح آب‌های آزاد بوده و بیشتر از داسیت تشکیل شده‌اند. بافت پورفیری سنگ‌های کیامکی با بلورهای بزرگ پلاژیوکلاز، بیوتیت و هورنبلندر در صخرا و میکروسکوبی، قابل تشخیص است (شکل‌های ۲ و ۳-الف). در بیشتر مناطق، حواشی گنبد کاملاً گرد و مشخص نیست بلکه سنگ‌های واپسیه به گنبد در درون سنگ‌های اطراف به صورت سیل نفوذ کرده‌اند (شکل ۲). زبانه‌ی بزرگی در دامنه‌ی جنوب غربی کیامکی که رخمنون آن به شکل کمان است در درون واحدهای قدیمی‌تر اطراف دیده می‌شوند (کمان قلنچ). سنگ‌های موجود در این کمان بافت غالب دانه‌ای تا پورفیری با خمیره‌ی تمام بلورین نشان می‌دهند. تغییرات سنگ‌شناسی به‌گونه‌ای است که در برخی بخش‌های گنبد، بلورهای سنگ‌های آتشفسانی زیادتر شده و بافت پورفیری متراکم‌تر به نظر می‌رسد. در کمان قلنچ سنگ‌ها بافت دانه‌ای داشته و ماهیت بافتی سنگ‌های درونی اسیدی (مثل گرانوویوریت) را آشکار می‌سازند.

مشخص شد که سنگ‌های پالئوزن این کمربند سرشتی‌های آهکی-قلیایی و سنگ‌های نئوژن/کواترنری آن، بیشتر سرشتی‌های آداسیتی نشان می‌دهند [۳]. بررسی موردنی پیشین روی گنبد کیامکی به همراه چند گنبد دیگر در شمال گسل تبریز، سرشت آداسیتی را برای آنها در نظر گرفته است [۴]. در بررسی یاد شده سهم گنبد کیامکی از نمونه‌های آنالیز شده تنها از پنج نمونه‌ی کل سنگ است.

در این پژوهش، سعی شده است تا با بررسی‌های صحرایی و میکروسکوپی گسترده، آنالیز کل سنگ از تعداد نمونه‌های بیشتر همراه با داده‌های ژئوشیمیایی و ایزوتوپی به بررسی کانی شناسی، سنگ‌زایی و شکل‌گیری‌های ژئودینامیکی موثر بر پیدایش گنبد آتشفسانی کیامکی پرداخته تا نتایج مطمئن‌تری حاصل شود.

زمین‌شناسی منطقه

گنبد آتشفسانی تا نیمه ژرفای کیامکی در شمال غرب ایران در ۲۵ کیلومتری جنوب شرق جلفا و شمال گسل تبریز واقع شده است (شکل ۱). این گنبد یکی از چندین (حدود ۳۰) گنبد آتشفسانی آتشفسان تا نیمه ژرفای موجود در شمال گسل تبریز



شکل ۱ نقشه‌ی زمین‌شناسی منطقه مورد بررسی بر گرفته از [۵] و موقعیت آن در نقشه زمین‌شناسی ایران از [۶].



شکل ۲ تصاویر صحراوی منتخب از نفوذ سیل مانند سنگ‌های داسیت- ریوداسیت (Dacite) کیامکی به درون سنگ‌های رسوبی از نوع ماسه سنگ- سیلتستون (Sandstone).^(۱)

شده تشکیل شده‌اند که به سازندهای زاگون و لالون وابسته‌اند. واحدهای دونین شامل شیل، ماسه‌سنگ و آهک بوده و به ندرت همراه با رسوب‌های پرمین با برخوردگاه گسلی در مجاورت گنبدهای بیرون زدگی دارند. رسوب‌های پرمین بیشتر در این منطقه ترکیبی آهکی بارنگ خاکستری دارند که در بخش بالایی به شیل تبدیل شده‌اند. دولومیت‌های خاکستری، آهک‌های ورمیکولار و شیل‌های آهکی (سازند الیکا) رسوب‌های تریاس را تشکیل می‌دهند که به وسیله‌ی واحدهای ائوسن پوشیده شده‌اند. شواهدی از رخنمون واحدهای کرتاسه زیرین در منطقه گزارش نشده است. قدیمی‌ترین واحد کرتاسه بالایی مارن و اندکی ماسه‌سنگ است که در ادامه به آهک گلوبوتزکدار تبدیل شده است. ماسه‌سنگ، سنگ آهک ماسه‌ای و آهک ضخیم از جوان‌ترین واحدهای کرتاسه بالایی را در منطقه تشکیل می‌دهند. سنوزوئیک در این منطقه با حضور واحدهای تخریبی کنگلومرا با قطعه سنگ‌های آهکی مشخص می‌شوند که به سنگ‌هایی مثل کنگلومرا سرخ در حوالی ایری چایی تبدیل شده است. مارن، ماسه‌سنگ و توفیک واحد منسجم دیگری هستند که وابسته به ائوسن در منطقه بوده و روی واحدهای یاد شده قرار گرفته‌اند. جوان‌ترین واحدهای وابسته به ائوسن شامل مارن ژپس‌دار، ماسه‌سنگ، کنگلومرا و سنگ‌های پیروکلاستیک هستند. میوسن و پلیوسن با کنگلومرا سست آغاز شده و در ادامه به سنگ‌های پیروکلاستیک رسیده و در نهایت دوباره کنگلومرا با قطعات آتشفشاری ختم می‌شود. کواترنر در منطقه‌ی مورد بررسی بیشتر واحدهای آبرفتی است.

از نظر جایگاه زمین‌شناسی این گنبدها در رده‌بندی‌های مختلف ایران در زون‌های ماگمای ایران مرکزی، ارومیه- دختر یا البرز- آذربایجان واقع شده است [۸،۷]. پیدایش هر دوی این زون‌ها با فرورانش نشوتنیس وابسته‌اند. در جنوب شرقی جلفا گنبدهای نیمه ژرف درون واحدهای آهکی پرمو- تریاس، فیلیش‌های کرتاسه- پالئوسن و آهک‌ها و ماسه سنگ‌های سرخ‌رنگ فوقانی نفوذ کرده‌اند. بیرون زدگی و وسعت این گنبدها از ۱ کیلومتر تا ۵ کیلومتر مربع متغیرند. به سمت غرب و شرق مرند این گنبدها به درون سنگ‌های آتشفشاری ائوسن و سنگ‌های ولکانوکلاستیک و رسوب‌های فسیل‌دار ائوسن نفوذ کرده‌اند. نشت واحدهای پلیوسن روی برخی از گنبدهای این منطقه می‌تواند حاکی از سن زمین‌شناسی قدیمی‌تر از پلیوسن برای برخی از این گنبدها باشد. در بعضی بررسی‌ها از آن‌ها به عنوان واحدهای میوسن (سازند سرخ بالایی) یاد شده است [۴]. داده‌های سال‌سنگی جدید برای گنبد کیامکی در قالب رساله‌ی دکتری سنگ‌شناسی در دانشگاه شهید بهشتی در حال انجام است؛ ولی در برخی گزارش‌ها [۹] به سال‌سنگی‌هایی در روسيه‌ی سابق اشاره شده است که سنی در حدود ۳۹ میلیون سال را نشان می‌دهند که با واقعیت‌های زمین‌شناسی صحراوی منطقه همخوانی ندارد؛ اگرچه در این بررسی‌ها به محل و نام دقیق توده اشاره نشده است.

بر اساس نقشه زمین‌شناسی منطقه‌ی جلفا (شکل ۱) چینه‌شناسی منطقه را می‌توان چنین توصیف کرد که در پیرامون گنبد کیامکی، قدیمی‌ترین واحدهای زمین‌شناسی مربوط به کامبرین است که در بعضی مناطق بیرون زدگی دارند. این واحدها از ماسه سنگ و شیل میکا دار و دگرسان

از دیگر کانی قابل ذکر است که به صورت فنوکریست یافت می‌شود. بیوتیتها نیز اغلب به شدت کلریتی شده‌اند. در پارهای موارد انباست فنوکریست‌ها در کنار یکدیگر باعث تشکیل بافت گلومروپورفیری خوش‌های در این سنگ‌ها شده است. بیوتیتها در بعضی موارد دارای ادخال‌هایی از کوارتز یا دیگر کانی‌ها هستند. زمینه‌ای این سنگ‌ها از بلورهای بسیار ریز پلازیوکلаз، پتاسیم فلدسپار و کوارتز تشکیل شده است. آپاتیت، کانی‌های تیتانومگنیتیت، زیرکن از کانی‌های فرعی موجود در این سنگ‌هاست که به صورت ادخال در فنوکریست‌ها و یا در زمینه قرار دارند.

آنژیت: این گروه از سنگ‌ها در نمونه‌های ماکروسکوپی بیشتر دارای رنگ تیره‌تر از داسیت‌هاست. فنوکریست‌ها در این سنگ‌ها از پلازیوکلاز، هورنبلند و بیوتیت تشکیل شده است. فنوکریست‌ها عموماً به صورت گلومروپورفیری در کنار یکدیگر قرار گرفته‌اند. این سنگ‌ها به بافت پورفیری با خمیره‌ی ریزدانه هستند. خمیره بیشتر از بلورهای ریز پلازیوکلاز، هورنبلند، کوارتز و کمتر از ۵ درصد آپاتیت و پیروکسن تشکیل شده است. مهم‌ترین و فراوان‌ترین فنوکریست در این سنگ‌ها پلازیوکلاز است که به صورت شکل‌دار یا نیمه شکل‌دار دیده می‌شوند، و دارای ردی از کارلسbad، پلی سنتیک بوده و در بعضی نمونه‌ها دارای منطقه بندی هستند (شکل ۳-۵). مقدار آن‌ها در مقاطع از ۱۵ تا ۴۰ درصد حجم کل سنگ تغییر می‌کند، و اندازه‌ی آن‌ها حداقل به ۵ میلی‌متر می‌رسد. فراوان‌ترین فنوکریست پس از پلازیوکلازها آمفیبول است که تقریباً در تمامی نمونه‌ها دیده می‌شوند. آمفیبول‌ها اغلب حاشیه‌ی کدر دارند که این پدیده بخاطر از دست دادن آب در طول بالا آمدن مagma و خروج آن ایجاد می‌شود. میکرولیت‌ها بیشتر از پلازیوکلاز تشکیل شده‌اند. پتاسیم فلدسپار و کوارتز از کانی‌های کدر، کربنات و آپاتیت به مقدار بسیار اندک در خمیره سنگ یافت می‌شود.

گرانوودیوریت: در گرانوودیوریت‌های مورد بررسی، کوارتز‌های بی‌شکل در نمونه‌ی ماکروسکوپی به رنگ‌های زرد، شیری و شفاف و اندازه‌های ۵-۲ میلی‌متر دیده می‌شوند. در این سنگ‌ها کوارتز، پلازیوکلاز و بیوتیت از تشکیل دهنده‌های اصلی و ارتوز، آمفیبول، آپاتیت، کانی‌های کدر و زیرکن از اجزای فرعی محسوب می‌شوند (شکل ۳-ح). اگر چه بخش اصلی این سنگ‌ها سالم و بدون دگرسانی باقی مانده است، ولی به صورت محلی و گاهی به میزان چشمگیری دستخوش دگرسانی شده و بیوتیت

روش بررسی

نتایج بررسی‌های صحرایی و نمونه برداری، از ۱۰۰ نمونه‌ی سنگی مقاطع میکروسکوپی تهیه و مورد بررسی قرار گرفتند. در ادامه ۴۵ نمونه از سنگ‌های مورد بررسی برای آنالیز شیمیایی انتخاب و به آزمایشگاه Acme-Labs در ونکوور کشور کانادا ارسال شدند. آنالیز کل سنگ به روش‌های ICP-MS و XRF صورت گرفت. تعداد ۱۰ نمونه نیز برای اندازه‌گیری ایزوتوپ‌های Sr و Nd و نسبت‌های ایزوتوپی $^{143}\text{Nd}/^{144}\text{Nd}$ و $^{87}\text{Sr}/^{86}\text{Sr}$ Institute of Geology, Chinese Academy of Sciences (Beijing) ارسال و با استفاده از یک بیناب‌سنجد جرمی مدل VG354 بررسی شدند.

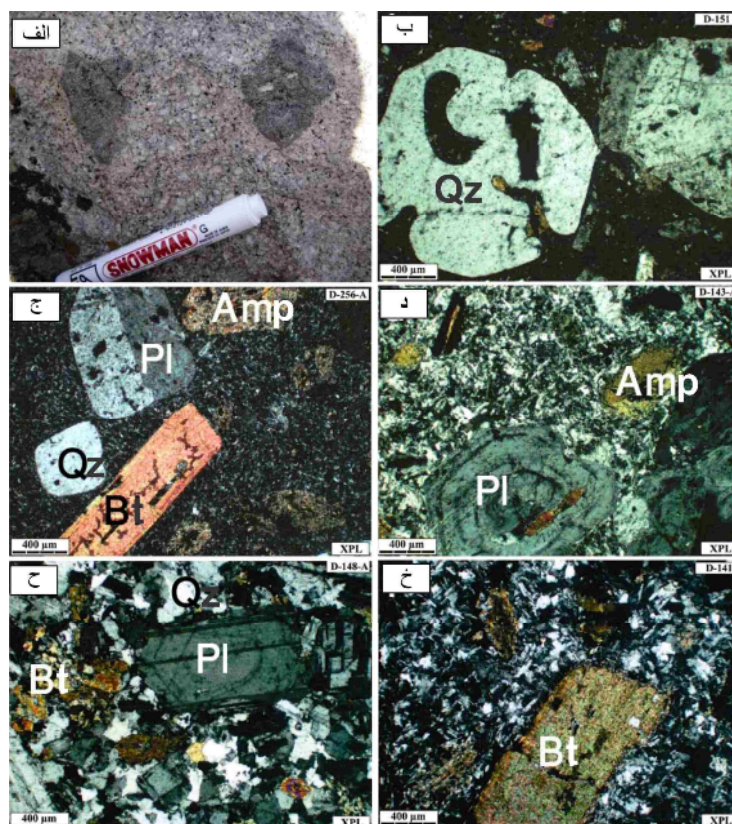
سنگ‌نگاری

بر پایه‌ی بررسی‌های میکروسکوپی، سنگ‌های ماگمایی گند کیامکی را می‌توان به چهار دسته تقسیم کرد که در زیر سرشی‌های میکروسکوپی و نتایج آنالیز مدنی (برای نمونه‌های پورفیری بر اساس فنوکریست‌ها) آن‌ها به‌طور جداگانه شرح داده شده‌اند.

داسیت - ریوداسیت: دارای بافت پورفیری هستند و فنوکریست‌ها از پلازیوکلاز، کوارتز، هورنبلند و بیوتیت تشکیل شده‌اند. اندازه‌ی فنوکریست‌ها از ۲ تا ۱۰ میلی‌متر متغیر و با چشم غیر مسلح قابل تشخیص‌اند، در درون این سنگ‌ها زینولیت‌هایی از سنگ‌های مافیک دیده می‌شوند (شکل ۳-الف). کوارتز‌هایی بی‌شکل با حاشیه‌ی خودگی خلیجی شکل تقریباً در تمام سنگ‌ها به صورت فنوکریست دیده می‌شوند ولی فراوانی آن‌ها متغیر است (شکل ۳-ب). این سنگ‌ها حاوی ادخال‌هایی از بیوتیت (در بخش‌های خلیجی)، پلازیوکلاز و ارتوز هستند. حدود ۲۵-۴۰ درصد این سنگ‌ها از پلازیوکلاز و کمتر نیمه شکل دارند. پلازیوکلازها دارای شواهدی از شرایط نامتعادل سرد شدن magma؛ مانند منطقه بندی هستند (شکل ۳-د و ح). هورنبلند از دیگر فنوکریست‌های موجود در برخی داسیت‌هاست. فراوانی هورنبلندها نسبت به پلازیوکلازها بسیار کمتر است، به‌طوری که در برخی نمونه‌های داسیتی فنوکریست هورنبلند دیده نمی‌شود. به طور کلی فراوانی آن‌ها کمتر از ۲۰ درصد است. رنگ آن‌ها از سبز تا قهوه‌ای قابل رویت است. عموماً نیمه شکل‌دار بوده و به کانی‌های ثانویه همچون اپیدوت، سریسیت، کلریت و... تجزیه شده‌اند. بیوتیت

کانی‌های سازنده این سنگ‌ها را بخود اختصاص داده است. این کانی به رنگ قهوه‌ای دیده می‌شود و اغلب نیمه شکل دار تا شکل دار است. برخی بلورهای آمفیبول به صورت بخشی به بیوتیت دگرسان شده‌اند. در این حالت بیوتیت به شکل‌های رشتہ‌ای و یا پولک‌های کوچک در داخل آمفیبول حضور دارد. **کوارتز مونزو دیوریت:** این سنگ‌ها در چند نقطه از منطقه مورد بررسی، به دلیل رنگ تیره‌تر نسبت به گرانوپیوریت‌ها قابل تفکیک‌اند. در مقاطع نازک حدود ۴۵ درصد این سنگ‌ها از پلاژیوکلاز، ۳۰ درصد کانی فرومیزین (بیوتیت و آمفیبول)، ۱۵ درصد اورتوز، ۵ درصد کوارتز و حدود ۵ درصد باقی‌مانده را کانی‌های فرعی (بیشتر کدر) تشکیل داده است (شکل ۳-خ). پلاژیوکلاز در این سنگ‌ها به سریسیت، زوئیزیت و کائولن، اورتوز به کائولینیت و کانی‌های فرومیزین به کلریت تبدیل شده‌اند. بافت این سنگ‌ها هیپ ایدیومورف گرانولار است.

از کانی‌های همچون سریسیت، کائولینیت، کلسیت، کلریت، اپیدوت و تشکیل شده‌اند. کوارتز با میانگینی حدود ۲۰-۳۰ درصد، سنگ را به خود اختصاص داده است و شکل دار نیست. این کانی خاموشی موجی داشته و بیشتر از ادخال‌هایی از کانی‌های دیگر دارد. در بعضی موارد حاشیه‌ای با خوردگی خلیجی شکل نیز در این کانی‌ها دیده می‌شود. پلاژیوکلاز بین ۶۰-۴۰ درصد این سنگ‌ها را تشکیل می‌دهد. این کانی بیشتر به صورت درشت دانه (۳-۵ میلی‌متر) است. شدت دگرسانی این کانی متفاوت است و بر حسب درجه دگرسانی به سریسیت، سوسوریت و کلریت تجزیه شده است. ارتوز نسبت به پلاژیوکلاز از فراوانی کمتری برخوردار بوده و بین ۱۰ تا ۱۵ درصد از این سنگ‌ها را تشکیل می‌دهد. این کانی در مواردی نادر، بافت پرتیتی نشان می‌دهد. بیوتیت از کانی‌های فرومیزین موجود در این سنگ‌هاست و به طور متوسط حدود ۵-۱۰ درصد از



شکل ۳ تصاویر مacroscopic و microscopic منتخب از مجموعه سنگی گنبدهای کیامکی؛**الف:** زینولیت‌های مافیک در سنگ‌های داسیت-ریوداسیت؛ **ب:** کوارتزهای بی‌شکل با خوردگی خلیجی به شکل فنوکریست، **ج:** فنوکریست‌های بیوتیت، پلاژیوکلاز دارای ماکل آلبیتی-کاراسپاد، کوارتز، کوارتز و آمفیبول آلتله در خمیره میکروکریستالین؛ **د:** پلاژیوکلاز زونه در خمیره میکروکریستالین؛ **ه:** پلاژیوکلاز دارای ماکل و زونه در خمیره بلورین ریز دانه حاوی آمفیبول، بیوتیت، کوارتز و پلاژیوکلاز در سنگ گرانوپیوریت؛ **خ:** فنوکریست بیوتیت شکل دار در خمیره میکروکریستالین در سنگ کوارتز مونزو دیوریت.

ژئوشیمیایی TAS و SiO_2 نسبت به Zr/TiO_2 در گستره‌ی

داسیت و ریولیت شبه قلیایی قرار گرفته‌اند (شکل ۴).

نتایج تجزیه‌های ژئوشیمیایی نمونه‌های مورد بررسی منتخب در جدول ۱ آورده شده‌اند. ترکیب این نمونه‌ها در نمودارهای

جدول ۱ نتایج آنالیز شیمیایی نمونه‌های معرف برداشت شده از سنگ‌های گند کیامکی و اطراف آن.

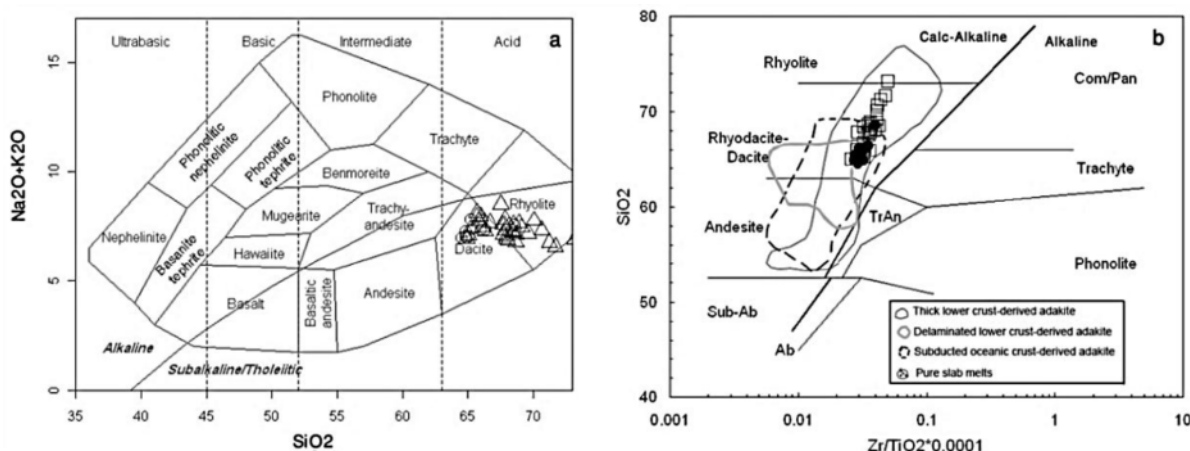
ID	D-15	D-16	D-17	D-18	D-22	D-25	D-27	D-28	D-30	D-51	D-57	D-64	داسیت
Field name													گراندیوپ. بت
													Wt%
SiO ₂	66.11	65.99	66.38	65.45	65.21	64.87	64.87	68.6	65.09	64.55	64.9	73.16	
Al ₂ O ₃	16.38	16.3	16.21	16.32	16.12	16.14	16.57	16.2	16.43	16.26	16.36	14.84	
Fe ₂ O ₃	3.35	3.35	3.6	3.51	3.38	3.32	3.78	2.53	3.84	3.96	3.75	1.82	
MgO	1.74	1.85	1.71	2.02	2.15	2.19	2.23	1.17	2.2	2.2	2.23	0.45	
CaO	3.36	3.65	3.47	3.84	3.48	3.82	3.86	2.69	4.07	3.87	4.14	1.44	
Na ₂ O	0.29	0.55	0.76	0.86	0.78	0.49	0.38	0.36	0.54	0.42	0.38	0.36	
K ₂ O	2.48	2.77	2.59	2.53	2.3	1.75	2.65	2.2	2.49	2.55	2.58	2.54	
TiO ₂	0.43	0.45	0.41	0.46	0.45	0.46	0.45	0.29	0.46	0.46	0.46	0.18	
P ₂ O ₅	0.19	0.2	0.19	0.21	0.19	0.19	0.12	0.13	0.17	0.23	0.2	0.18	
MnO	0.04	0.05	0.05	0.04	0.03	0.04	0.05	0.03	0.08	0.07	0.06	0.01	
Cr ₂ O ₃	0.019	0.018	0.013	0.026	0.013	0.011	0.011	0.012	0.009	0.012	0.009	0.013	
LOI	0.4	0.6	0.4	0.5	0.5	1.5	0.8	0.8	0.4	1.2	0.7	1.2	
Sum	99.8	99.78	99.78	99.76	99.79	99.77	99.82	99.79	99.77	99.77	99.77	99.87	
													ppm
Ba	752	787	882	862	875	726	831	834	727	795	782	848	
Be	2	2	2	<1	2	2	2	2	3	1	2	<1	
Co	8.2	8.7	10.6	12.9	8.2	11	13.4	6.4	9.1	11.5	11.1	2.3	
Sc	6	6	7	7	7	7	7	5	7	7	8	2	
Cs	1.3	2.4	3.3	0.8	0.2	0.3	1.6	0.8	2.8	3	1.2	1.6	
Ga	16.4	17.9	17.3	16.8	16.1	16.5	17.7	16.3	17	16.2	17.2	16.2	
Hf	3.5	3.7	3.6	3.4	3.5	3.3	3.7	3.3	3	3.5	3.5	2.4	
Nb	2.13	1.45	1.29	1.26	1.21	1.05	1.17	0.86	11	11.8	11.1	8.1	
Rb	52.8	83.2	85.7	51.2	51.9	37.1	89.2	67.1	87.1	97.9	74.1	62.3	
Sr	60.57	64.82	65.13	69.66	67.75	67.84	72.56	55.81	67.54	67.87	70.42	30.43	
Ta	0.8	0.9	0.9	0.8	0.8	0.8	0.6	0.6	0.6	0.8	0.6	0.6	
Th	14.2	15.1	15	11.7	13.4	13.3	12	10.3	10.4	11.3	11.2	9	
U	4	3	3.3	1.9	2.2	1.7	4.1	2.5	2.6	2.7	3.6	2.1	
V	63	66	60	74	79	68	76	45	72	73	75	19	
W	0.8	1.1	1.7	1.4	1.1	2	1.2	1.1	0.8	1.3	1.2	1.1	
Zr	130.9	148.7	145.1	132.2	132.3	128.4	145.9	117.4	132.3	132.3	127.4	91.1	
Y	8.8	7.6	7.1	7.7	7.7	7.5	8	5.9	7.2	7.4	7.4	4.2	
La	17.1	29.3	27.1	25.4	16.6	19.7	19	19.3	22.7	25	21.7	17.1	
Ce	35.3	53.6	50.1	49	33.9	40.5	34.9	35.6	41.7	45.4	41.2	28.8	
Pr	3.83	5.67	5.25	5.19	2.92	4.49	3.86	3.82	4.64	5.03	4.58	3.16	
Nd	14.9	19	17.9	18.4	14.6	16.2	14.6	13.4	16.9	18.1	16.6	10.5	
Sm	2.48	3.08	2.84	2.97	2.51	2.84	2.56	2.2	2.67	2.9	2.76	1.81	
Eu	0.72	0.8	0.81	0.84	0.69	0.75	0.8	0.6	0.78	0.78	0.79	0.45	
Gd	1.79	2.12	1.98	2.27	1.97	2.08	2	1.63	2	2.11	2.1	1.24	
Tb	0.25	0.29	0.28	0.31	0.29	0.3	0.29	0.22	0.29	0.28	0.31	0.17	
Dy	1.27	1.43	1.32	1.53	1.41	1.45	1.46	1.07	1.39	1.42	1.45	0.79	
Ho	0.22	0.25	0.25	0.26	0.25	0.27	0.24	0.2	0.26	0.23	0.26	0.13	
Er	0.63	0.69	0.69	0.7	0.68	0.73	0.75	0.54	0.66	0.7	0.7	0.37	
Tm	0.09	0.1	0.09	0.09	0.1	0.09	0.1	0.08	0.1	0.1	0.1	0.05	
Yb	0.54	0.67	0.59	0.65	0.62	0.63	0.61	0.51	0.63	0.61	0.62	0.36	
Lu	0.09	0.1	0.09	0.09	0.1	0.1	0.1	0.07	0.09	0.09	0.1	0.06	
Mo	3.8	1.3	2.3	2.2	1.7	3	0.8	2.2	1.3	1.1	0.6	2.3	
Cu	6.1	12	9.7	5.5	13.1	6.7	11.4	9.3	4.8	35.6	10.4	6.6	
Pb	3.1	1.5	3.5	8.6	1.1	1.7	2.7	6.8	2.1	8.8	8.3	3.4	
Zn	16	13	23	119	14	15	10	17	21	24	51	9	
Ni	31.3	20.6	26.6	26.7	15.1	12.1	21.5	17	24.3	25.7	22.3	11.2	
As	1.2	1	1.4	1.2	1.7	0.9	0.7	1.4	1.1	0.7	<0.5	1.3	
Mg#	51	52	48	53	56	57	54	48	53	52	54	36	
ISr				0.7		0.7	0.7	0.7				0.71	
eNd(t)				1.18		1.27	0.512					0.57	

جدول ۱ ادامه

ID	D-66	D-67	D-73	D-78	D-84	D-119	D-120	D-126	D-160	D-163	D-168	D-170
Field name	داسیت	داسیت	داسیت	داسیت	داسیت	داسیت	داسیت	داسیت	داسیت	داسیت	داسیت	داسیت
Wt%												
SiO ₂	۷۱,۶۹	۶۶,۳۲	۷۰,۶۶	۶۹,۶۳	۷۰,۰۶	۶۸,۷۱	۷۱,۲۴	۶۸,۴۷	۶۷,۷۷	۶۷,۷	۶۸,۰۵	۶۵,۶۷
Al ₂ O ₃	۱۴,۴۲	۱۶,۲	۱۵,۸۳	۱۵,۵۹	۱۵,۵۲	۱۵,۸۹	۱۵,۳۸	۱۵,۷۲	۱۵,۹۸	۱۶,۰۱	۱۵,۸۷	۱۶,۲۲
Fe ₂ O ₃	۲,۳۷	۳	۲,۴۵	۲,۷۷	۲,۵۸	۲,۸۱	۲,۰۲	۲,۹۹	۲,۵۹	۲,۳۹	۲,۰۲	۴,۱۳
MgO	۰,۳۸	۱,۷	۰,۶۷	۰,۵۲	۰,۶۱	۱,۱۶	۰,۷۳	۱,۱۱	۱,۱۳	۱,۲۶	۱,۲۹	۱,۷۴
CaO	۲,۳۷	۲,۲۳	۲,۵	۲,۸۳	۲,۱۸	۲,۵۳	۲,۹۴	۲,۶۵	۲,۷۹	۲,۷۵	۲,۴۱	۲,۸۲
Na ₂ O	۴,۱۹	۵	۵,۱۵	۵,۱	۵,۶۷	۵,۲۴	۶,۴۴	۵,۴۱	۵,۰۴	۴,۸۶	۴,۶۷	۵,۶۲
K ₂ O	۲,۳۸	۲,۳	۲,۱۶	۲,۰۶	۲,۰۹	۱,۹	۰,۳۲	۲,۱۸	۲,۵۳	۲,۲۶	۲,۱۹	۲,۵
TiO ₂	۰,۱۸	۰,۴	۰,۲۱	۰,۲۱	۰,۲۱	۰,۳	۰,۲۹	۰,۳۱	۰,۳۳	۰,۳۴	۰,۳۲	۰,۴۲
P ₂ O ₅	۰,۰۸	۰,۱۸	۰,۰۹	۰,۰۹	۰,۰۸	۰,۱۳	۰,۱۳	۰,۱۴	۰,۱۵	۰,۱۶	۰,۱۴	۰,۲
MnO	۰,۰۳	۰,۰۵	۰,۰۳	۰,۰۴	۰,۰۳	۰,۰۴	۰,۰۳	۰,۰۴	۰,۰۴	۰,۰۶	۰,۰۳	۰,۰۷
Cr ₂ O ₃	۰,۰۱۸	۰,۰۲۲	۰,۰۱۴	۰,۰۲۳	۰,۰۱۵	۰,۰۰۸	۰,۰۲۴	۰,۰۱۵	۰,۰۰۹	۰,۰۲۹	۰,۰۱	۰,۰۲۴
LOI	۱,۸	۱,۴	۰,۱	۱	۰,۸	۱,۱	۰,۳	۰,۸	۱,۵	۱	۱,۸	۰,۶
Sum	۹۹,۸۶	۹۹,۸۱	۹۹,۸۶	۹۹,۸۶	۹۹,۸۴	۹۹,۸۱	۹۹,۸۶	۹۹,۸۳	۹۹,۸۱	۹۹,۷۹	۹۹,۷۶	۹۹,۸
Ba	۹,۰۴	۷۱۹	۷۲۸	۸۱۱	۷۵۱	۷۵۴	۱۶۲	۷۹۷	۸۸۵	۹۲۶	۱۱۲۹	۷۷۱
Be	۱	۲	<۱	<۱	۱	۱	۱	<۱	۲	۲	۲	۲
Co	۳۶	۸,۱	۴,۱	۴,۸	۴,۳	۵,۶	۵,۸	۷	۶,۶	۷,۲	۶,۹	۱۰,۴
Sc	۲	۶	۳	۲	۴	۴	۴	۴	۵	۵	۵	۶
Cs	۱,۶	۱,۹	۱,۶	۲,۳	۱,۴	۱,۶	۰,۵	۰,۸	۱,۲	۲	۰,۹	۱,۲
Ga	۱۶,۱	۱۶,۵	۱۷	۱۷	۱۷,۲	۱۶,۱	۱۳,۳	۱۶,۳	۱۶,۷	۱۶,۳	۱۶,۸	۱۷,۶
Hf	۲,۳	۳,۵	۲,۴	۲,۴	۲,۶	۲,۹	۳,۶	۳	۳	۳,۳	۳,۴	۳,۷
Nb	۸	۱۱,۲	۵,۸	۶,۱	۷,۶	۸,۹	۸,۷	۹,۶	۱۱,۹	۱۱,۳	۹,۹	۱۲,۱
Rb	۶۶,۲	۷۴,۸	۵۹,۹	۵۷,۳	۵۸,۳	۵۴,۹	۷,۲	۶۱,۶	۷۲,۷	۷۴,۶	۵۷,۶	۸۸,۲
Sr	۲۲۲,۹	۶۰,۲,۸	۴۵۴	۴۲۵,۷	۵۱۲,۱	۶۲۹,۴	۶۹۷,۴	۵۳۹,۳	۵۲۵	۵۹۶,۶	۷۱۵,۷	۵۶۴,۴
Ta	۰,۶	۰,۷	۰,۴	۰,۵	۰,۴	۰,۶	۰,۶	۰,۵	۰,۹	۰,۷	۰,۶	۰,۸
Th	۸,۱	۱۲,۴	۴,۴	۴,۸	۴,۸	۱۰,۱	۱۰,۲	۱۰,۴	۱۳,۷	۱۴,۳	۱۲	۱۳,۶
U	۲	۲,۷	۲,۳	۲,۶	۲,۵	۳,۶	۴	۳,۵	۴	۲,۹	۴,۴	۳,۷
V	۲۱	۵۵	۲۷	۲۶	۲۹	۴۱	۴۲	۴۳	۴۳	۴۸	۴۶	۵۱
W	۱,۱	۰,۷	۰,۹	۰,۹	۰,۶	۰,۹	۲,۶	۱,۱	۱,۶	۱,۴	۱,۶	۲,۹
Zr	۸۷,۵	۱۱۷,۱	۸۸	۸۷,۳	۸۶,۹	۱۱۰,۱	۱۲۹,۶	۱۱۶,۸	۱۰,۹,۷	۱۲۵,۶	۱۳۰,۵	۱۳۸,۴
Y	۳,۹	۶,۵	۴	۴,۱	۴,۳	۵,۷	۵,۷	۵,۸	۶,۴	۷,۲	۶,۴	۷,۴
La	۱۶,۲	۲۲,۲	۱۰,۶	۱۱	۱۱,۳	۱۸	۱۷,۹	۱۸,۴	۲۳,۲	۲۳,۷	۱۸,۲	۲۵,۷
Ce	۲۸,۲	۴,۱,۴	۱۹,۱	۲۰,۳	۲۱	۲۲,۸	۳۳,۱	۳۴,۶	۴۱,۷	۴۲,۱	۲۰,۳	۴۶,۲
Pr	۲,۹	۴,۰۱	۲,۶	۲,۲۱	۲,۳۱	۳,۵۵	۳,۵۶	۳,۶۶	۴,۴۸	۴,۶۳	۳,۵۳	۵,۰۹
Nd	۹,۵	۱۵,۷	۷,۲	۷,۷	۸,۴	۱۱,۹	۱۲,۷	۱۳,۳	۱۵,۲	۱۵,۶	۱۳,۲	۱۸,۱
Sm	۱,۴۵	۲,۵۵	۱,۳۸	۱,۴۲	۱,۵۲	۱,۹۸	۲,۱	۲,۱۸	۲,۳۹	۲,۶۶	۲,۲۱	۲,۷۷
Eu	۰,۴	۰,۷	۰,۴۵	۰,۴۴	۰,۴۷	۰,۵۸	۰,۵۵	۰,۶	۰,۶۱	۰,۶۱	۰,۷۵	
Gd	۱,۱۲	۱,۸۸	۱,۱۳	۱,۲۱	۱,۲۲	۱,۵۱	۱,۵	۱,۵۷	۱,۵۹	۱,۸۷	۱,۷۳	۰,۵
Tb	۰,۱۵	۰,۲۶	۰,۱۶	۰,۱۷	۰,۱۷	۰,۲۲	۰,۲۲	۰,۲۱	۰,۲۴	۰,۲۶	۰,۲۵	۰,۲۷
Dy	۰,۷۴	۱,۲۵	۰,۷۹	۰,۷۶	۰,۸۱	۱,۰۹	۰,۹۹	۱,۰۷	۱,۰۶	۱,۲۴	۱,۱۱	۱,۲۹
Ho	۰,۱۳	۰,۲۲	۰,۱۳	۰,۱۳	۰,۱۳	۰,۱۸	۰,۱۷	۰,۱۸	۰,۲۲	۰,۲۳	۰,۲	۰,۲۳
Er	۰,۳۵	۰,۶۱	۰,۲۶	۰,۳۸	۰,۳۵	۰,۴۹	۰,۵۴	۰,۵۱	۰,۵۷	۰,۶۱	۰,۵۵	۰,۶۳
Tm	۰,۰۵	۰,۱۸	۰,۰۵	۰,۰۶	۰,۰۸	۰,۱۸	۰,۰۸	۰,۰۷	۰,۰۸	۰,۰۹	۰,۱	۰,۰۹
Yb	۰,۳۵	۰,۵۳	۰,۲۲	۰,۳۱	۰,۳۴	۰,۴۸	۰,۴۷	۰,۴۴	۰,۵۲	۰,۶	۰,۵۳	۰,۵۸
Lu	۰,۰۵	۰,۰۸	۰,۰۵	۰,۰۶	۰,۰۷	۰,۰۷	۰,۰۷	۰,۰۸	۰,۰۹	۰,۰۸	۰,۰۹	۰,۰۹
Mo	۶,۳	۳,۱	۴,۴	۹,۷	۱۰,۱	۸,۷	۴,۸	۶,۵	۳,۸	۵,۲	۳,۷	۸,۷
Cu	۵,۸	۸,۷	۸,۴	۱۰,۹	۸,۸	۷	۶,۹	۷,۶	۱۱,۱	۹,۸	۴,۹	۱۰,۸
Pb	۲,۴	۱,۸	۵,۳	۳,۵	۳,۵	۲,۳	۴	۴,۸	۶,۱	۶	۲,۳	۱۰,۵
Zn	۱۲	۲۸	۴۱	۲۸	۲۳	۳۸	۶	۱۹	۲۶	۴۲	۲۵	۵۶
Ni	۲۷,۶	۳۰,۷	۲۷,۶	۵۸,۶	۵۴,۷	۵۲	۲۵,۶	۳۶,۵	۲۷,۴	۳۶,۱	۳۳,۳	۵۳,۸
As	۲,۱	۲	۱,۶	۱,۷	۱,۳	۱,۳	۱,۳	۱,۳	۱,۸	۰,۸	۱,۴	<۰,۵
Mg#	۲۴	۵۳	۳۵	۲۷	۳۲	۴۵	۴۲	۴۲	۴۶	۴۲	۴۶	۴۵
ISr	-۰,۷۱	-۰,۷۱										
eNd(t)	-۰,۸۳		۲,۸۸									

جدول ۱- ادامه

ID	D-256	D-276	D-279	D-287	D-289	D-299	D-307	D-311	D-48
Field name	داسیت	داسیت	داسیت	داسیت	داسیت	داسیت	داسیت	داسیت	داسیت
wt%									
SiO ₂	۶۷,۵۲	۶۵,۸۸	۶۶,۶۸	۶۷,۸۴	۶۸,۸۹	۶۸,۴۶	۶۸,۴۵	۶۷,۹۶	۶۶,۰۸
Al ₂ O ₃	۱۵,۹۸	۱۶,۳	۱۵,۸۸	۱۵,۹۳	۱۵,۹	۱۵,۸۶	۱۵,۷۷	۱۵,۹۲	۱۶,۳۴
Fe ₂ O ₃	۲,۰۵	۲,۷۷	۳,۴	۳,۳۳	۲,۶۶	۲,۷۲	۳	۲,۹۴	۲,۳۹
MgO	۱,۳۵	۱,۵۹	۱,۴۷	۱,۳۶	۱,۱۹	۱,۳۱	۱,۱۷	۱,۱۲	۱,۹۲
CaO	۳,۵۳	۲,۰۴	۲,۷۳	۲,۲۵	۲,۱۵	۲,۸	۲,۰۲	۳,۱۲	۲,۵۴
Na ₂ O	۵۴۶	۵۱۱	۵۳۸	۵۶۱	۵۴۲	۵۰۴	۵۰۸	۴۸۷	۴۸۵
K ₂ O	۳,۱۵	۲,۶۱	۲,۲۹	۲,۲۲	۲,۲۳	۲,۱۹	۲,۱۳	۲,۱۹	۲,۶۲
TiO ₂	۰,۳۴	۰,۴۱	۰,۴	۰,۳۸	۰,۳۱	۰,۳۴	۰,۳	۰,۳	۰,۴۴
P ₂ O ₅	۰,۱۶	۰,۲۱	۰,۲۱	۰,۱۸	۰,۱۳	۰,۱۴	۰,۱۴	۰,۱۴	۰,۲۱
MnO	۰,۰۲	۰,۰۶	۰,۰۶	۰,۰۵	۰,۰۵	۰,۰۴	۰,۰۴	۰,۰۴	۰,۰۴
Cr ₂ O ₃	۰,۰۱۷	۰,۰۰۹	۰,۰۱۳	۰,۰۳۳	۰,۰۰۴	۰,۰۱	۰,۰۱۱	۰,۰۰۹	۰,۰۴۷
LOI	۰,۳	۰,۱	۱,۳	۰,۶	۰,۹	۰,۹	۰,۷	۱,۲	۰,۳
Sum	۹۹,۷۸	۹۹,۷۹	۹۹,۸	۹۹,۸	۹۹,۸	۹۹,۸	۹۹,۸	۹۹,۸۱	۹۹,۷۷
ppm									
Ba	۱۰,۱۶	۸۴۳	۸۱۴	۸۳۴	۹,۰۵	۸۲۵	۸۴۲	۸۳۸	۷۴۶
Be	۲	۲	۲	۲	۲	۲	۲	۲	۲
Co	۴,۴	۸,۸	۸	۶,۲	۶,۹	۷,۱	۶,۵	۶,۳	۱۰,۳
Sc	۵	۵	۵	۵	۵	۵	۴	۴	۶
Cs	۰,۶	۱,۷	۲,۱	۱,۲	۰,۷	۱	۳,۳	۲,۶	۱,۱
Ga	۱۶,۳	۱۶,۹	۱۶,۴	۱۷,۳	۱۶,۴	۱۶,۳	۱۵,۹	۱۶,۷	۱۶,۷
Hf	۳	۴	۳,۵	۳,۲	۳	۳,۶	۳,۲	۳,۲	۳,۷
Nb	۱۰,۱	۱۳,۳	۱۱,۷	۱۱,۳	۸,۹	۹,۷	۹,۵	۹,۲	۱۴,۱
Rb	۶۷,۲	۹۵,۷	۷۴,۵	۷۳,۸	۶۶,۴	۶۳,۵	۷۰,۵	۶۹,۵	۶۷,۲
Sr	۶۲۲,۱	۵۹۶,۹	۶۱۵,۱	۵۸۹,۹	۶۰,۴,۹	۶۰,۹,۱	۶۰,۱,۱	۵۷۱	۶۷۹,۹
Ta	۰,۷	۰,۸	۰,۷	۰,۷	۰,۶	۰,۶	۰,۷	۰,۶	۰,۸
Th	۹,۹	۱۴	۱۰,۳	۱۱,۴	۱۰	۱۱,۶	۱۰,۴	۹,۸	۱۴,۱
U	۳,۴	۴,۸	۳,۷	۳,۶	۳,۱	۳,۴	۳,۳	۳,۳	۲,۸
V	۴,۸	۶,۲	۵,۵	۵,۳	۴,۸	۴,۸	۴,۴	۴,۴	۵,۷
W	۱	۲,۴	۱,۴	۱,۷	۲	۱,۶	۱,۲	۱,۵	۰,۸
Zr	۱۲۲,۴	۱۴۸,۹	۱۳۰,۲	۱۱۲	۱۱۳,۸	۱۳۰,۱	۱۳۰,۵	۱۱۹,۳	۱۴۶,۸
Y	۵,۶	۷,۳	۶,۶	۶,۵	۶	۶,۳	۶,۲	۵,۷	۸,۱
La	۱۲,۱	۲۳,۶	۱۸,۵	۲۰,۴	۱۷,۴	۲۱,۲	۱۸,۱	۱۸,۳	۵۲,۳
Ce	۲۶,۹	۴۴	۳۶,۶	۳۹,۶	۳۲,۴	۴۰,۴	۳۴,۵	۳۵,۲	۹۴,۲
Pr	۳,۰,۹	۴,۸,۱	۴,۱	۴,۲۴	۳,۴	۴,۲۲	۳,۷	۳,۷۲	۹,۱۷
Nd	۱۱,۸	۱۸,۸	۱۵,۷	۱۵,۸	۱۲,۸	۱۵,۷	۱۳,۵	۱۳,۱	۳۰,۲
Sm	۲,۰,۱	۲,۸	۲,۰۵	۲,۴۹	۲,۱	۲,۳۸	۲,۱۸	۲,۱۱	۴,۱۵
Eu	۰,۵۳	۰,۷۷	۰,۷۲	۰,۶۶	۰,۵۶	۰,۶۱	۰,۵۹	۰,۵۷	۰,۸۷
Gd	۱,۰۳	۲,۰,۸	۱,۹۳	۱,۸۶	۱,۵۹	۱,۸۲	۱,۸۳	۱,۵۷	۲,۶۱
Tb	۰,۲	۰,۲۷	۰,۲۶	۰,۲۴	۰,۲۲	۰,۲۴	۰,۲۲	۰,۲۱	۰,۳۴
Dy	۱	۱,۳۴	۱,۳۳	۱,۲	۱,۱۳	۱,۲۳	۱,۰,۷	۱,۱۲	۰,۶
Ho	۰,۱۹	۰,۲۳	۰,۲۲	۰,۲۲	۰,۱۹	۰,۲	۰,۱۸	۰,۱۸	۰,۲۸
Er	۰,۴۹	۰,۶۳	۰,۵۸	۰,۵۱	۰,۵۶	۰,۵۱	۰,۵۳	۰,۵۱	۰,۶۹
Tm	۰,۰,۷	۰,۰,۹	۰,۰,۸	۰,۰,۸	۰,۰,۸	۰,۰,۸	۰,۰,۸	۰,۰,۷	۰,۱۱
Yb	۰,۰,۸	۰,۰,۶	۰,۰,۲	۰,۰,۱	۰,۰,۱	۰,۰,۲	۰,۰,۵	۰,۰,۵	۰,۰,۹
Lu	۰,۰,۷	۰,۱	۰,۰,۸	۰,۰,۸	۰,۰,۸	۰,۰,۸	۰,۰,۸	۰,۰,۷	۰,۱
Mo	۸,۸	۵,۸	۳,۶	۵,۵	۱,۳	۱,۷	۴,۵	۴,۱	۵,۲
Cu	۱۷,۱	۲۲,۴	۱۴,۱	۲۳,۲	۵,۱	۴,۵	۲۱,۷	۱۲,۹	۲۱,۲
Pb	۵,۲	۲,۶	۲	۳,۸	۳,۱	۴	۵,۴	۵,۲	۳۰,۴
Zn	۶	۲۹	۳۹	۲۳	۲۸	۲۷	۲۲	۳۳	۲۲
Ni	۴۸,۱	۳۹,۹	۳۴	۴۴	۱۵,۳	۲۰,۷	۳۲,۱	۳۱,۹	۴۳
As	۳	۲,۱	۱,۳	۱,۸	۱,۵	۱,۲	۱,۸	۱,۷	۱,۲
Mg#	۵۷	۴۶	۴۶	۴۵	۴۷	۴۹	۴۴	۴۳	۵۳
ISr				۰,۷					
eNd(t)				۱,۰,۲					



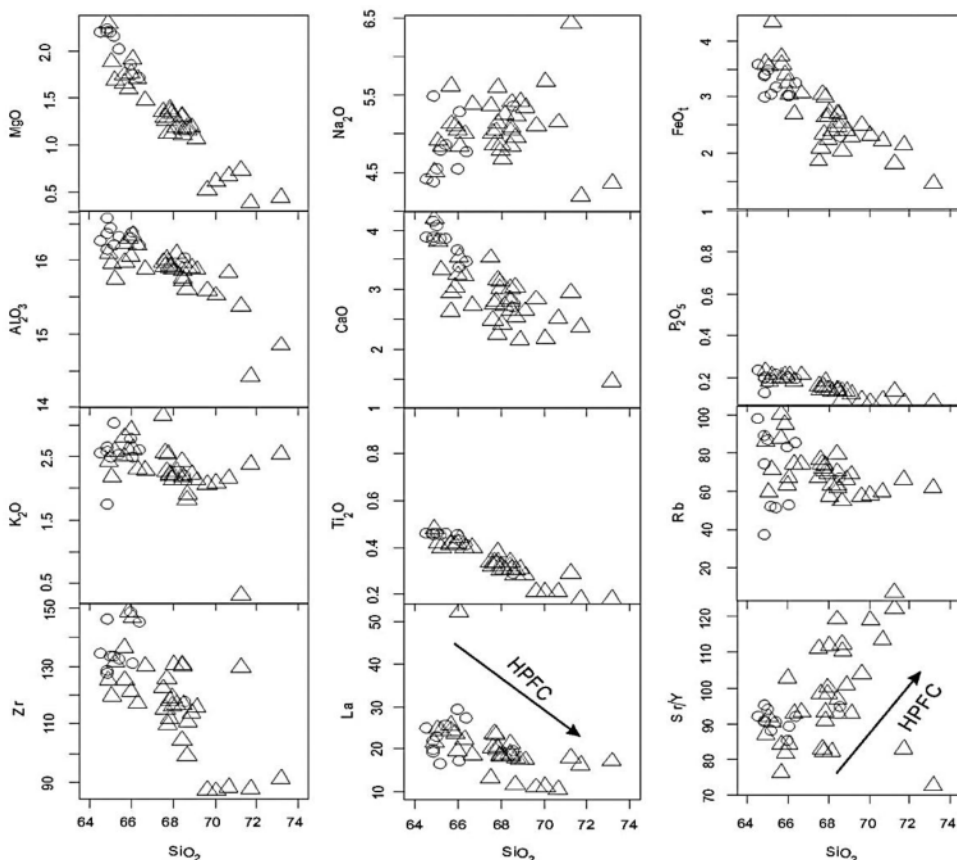
شکل ۴ نمودارهای TAS از [۱۰] و Zr/TiO_2 در مقابل SiO_2 از [۱۱] با گسترهای مشخص شده برای آداکیت‌ها برگرفته از [۱]. نماد دایره برای گرانوپوریت‌ها و نماد مربع یا مثلث برای داسیت‌ها استفاده شده است.

شدگی مشخصی از عناصر لیتوفیل با شعاع یونی بزرگ (LILEs) (مانند Cs, U, Pb, K) و تهی شدگی در Nb را نشان می‌دهند. غنی شدگی در Ti نشانی است از تمرکز فازهای تیتان دار در سنگ‌های مورد بررسی. بینجاري منفی نیوبیم مشابه سنگ‌های وابسته به مناطق فروزانش حاشیه‌ی فعال قاره است. جاییکه خاستگاه گوشه‌ای به وسیله‌ی مواد فرورونده غنی شده از عناصر لیتوفیل دارای شعاع یونی بزرگ، دگرنهاد HFS شده است [۱۳]. اگرچه ممکن است تهی شدگی عناصر ناشی از آغشتگی ماقما با مواد پوسته‌ای حین صعود و جایگزینی آن در مناطق فروزانش نیز باشد، ولی تهی شدگی این عناصر را به حضور فازهای دیرگذار حاوی این عناصر نظری روتیل، ایلمینیت، آمفیبول پارگازیتی تیتان دار، اسفن و آپاتیت در سنگ‌های اکلولوژیتی پوسته‌ی اقیانوسی فروزانده شده و یا گوهی گوشه‌ای ذوب نشده محل خاستگاه نیز می‌توان در ارتباط دانست؛ زیرا عناصر یادشده در این فازها به شدت سازگارند [۱۴].

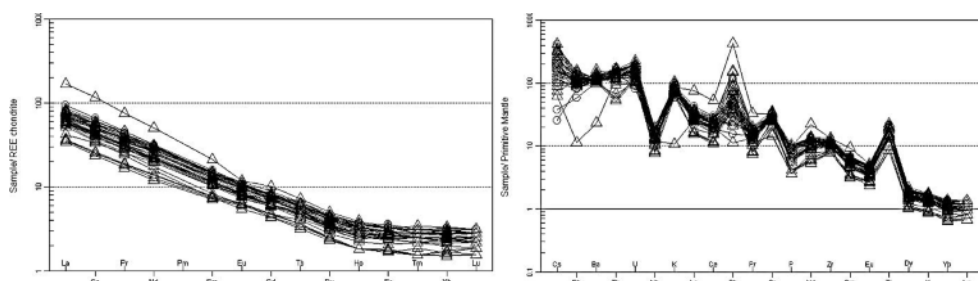
این سنگ‌ها دارای تمرکز پایین عناصر نادر خاکی سنگین و Y ($8/1-3/9 \text{ ppm}$) هستند. با در نظر گرفتن این سرشی‌ها به همراه مقادیر بالای Sr و نسبت بالای Sr/Y، می‌توان این سنگ‌ها را در نمودار Y/Sr نسبت به Y به عنوان آداکیت ردبهندی کرد (شکل ۷-الف). در نمودار La/Yb_(n) نسبت به La/Yb_(n) نیز سنگ‌های مورد بررسی در گسترهی خارج از سنگ‌های عادی کمان‌های ماقمایی واقع شده‌اند و در گسترهی آداکیت‌ها پراکنده شده‌اند (شکل ۷-ب).

در نمودارهای هارکر، تغییرات اکسیدهای عناصر اصلی و فرعی نسبت به SiO_2 ، به خوبی روندهای جدایشی نشان می‌دهند (شکل ۵). روند منفی در چگونگی پراکنش نمونه‌ها در مقادیر La , Zr , P_2O_5 , CaO , TiO_2 , MgO , FeO , Al_2O_3 و SiO_2 نشان دهنده‌ی جدایش بلورهای آپاتیت، هورنبلند، تیتانومگنتیت و پلازیوکلاز از ماجمات است. کاهش مقادیر Al_2O_3 و La با افزایش مقدار SiO_2 و افزایش نسبت SiO_2/Y با افزایش مقدار SiO_2 در نمونه‌های مورد بررسی نشان دهنده‌ی جدایش بلوری در شرایط فشار بالاست [۱۲]. در این نمودارها سنگ‌های آتشفسانی و نفوذی گنبدهای خاستگاه روند خطی گستردگی داشته‌اند که این نشان دهنده‌ی خاستگاه یکسان آنهاست. مقادیر SiO_2 , Na_2O , K_2O نسبت به SiO_2 روند پراکنده‌ای را نشان می‌دهند که می‌تواند از تاثیر هضم پوسته‌ای و آلایش ماقمایی ناشی شود. حضور زینولیت‌های با ترکیب مختلف در سنگ‌های مجموعه می‌تواند نشانه‌ای بر تایید این ادعا محسوب شود.

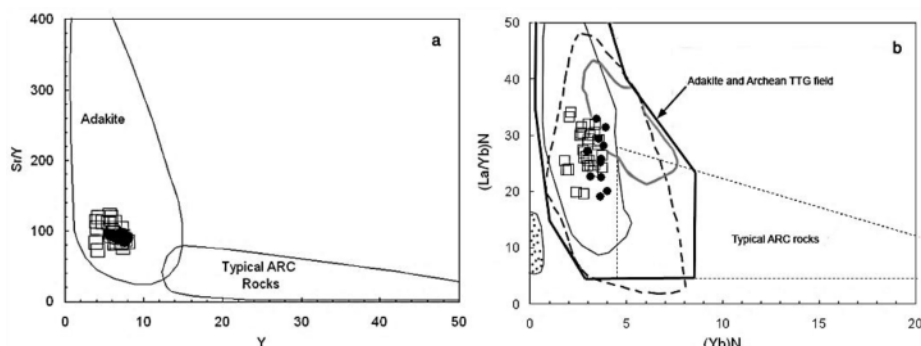
الگوی عناصر نادر خاکی بهنجار شده‌ی این سنگ‌ها به کندریت، در شکل ۶، نشان دهنده‌ی ارتباط زایشی تمام نمونه‌ها با یکدیگر و غنی شدگی آن‌ها در عناصر نادر خاکی سبک است. سنگ‌های مورد بررسی در عناصر نادر خاکی سنگین تهی شدگی و تقریباً روندی مسطحی را نشان می‌دهند، اما در عناصر نادر خاکی سبک غنی شدگی و یک روند افزایشی را از عناصر نادر خاکی میانه تا سبک نشان می‌دهند. همچنین الگوی عناصر چند عنصری در شکل ۶ که به گوشه‌های اولیه بهنجار شده است نشان می‌دهد که نمونه‌های یاد شده غنی



شکل ۵ نمودارهای تغییرات عناصر مختلف در مقابل SiO_2 (HPFS تفریق بلوری در فشار بالا [۱۲])، نمادها همچون شکل ۳



شکل ۶ نمودار عناصر نادر خاکی نرمالیز شده به کندریت [۱۵] و نمودار چند عنصری نرمالیز شده به گوشه اولیه [۱۶] برای نمونه های کیامکی.



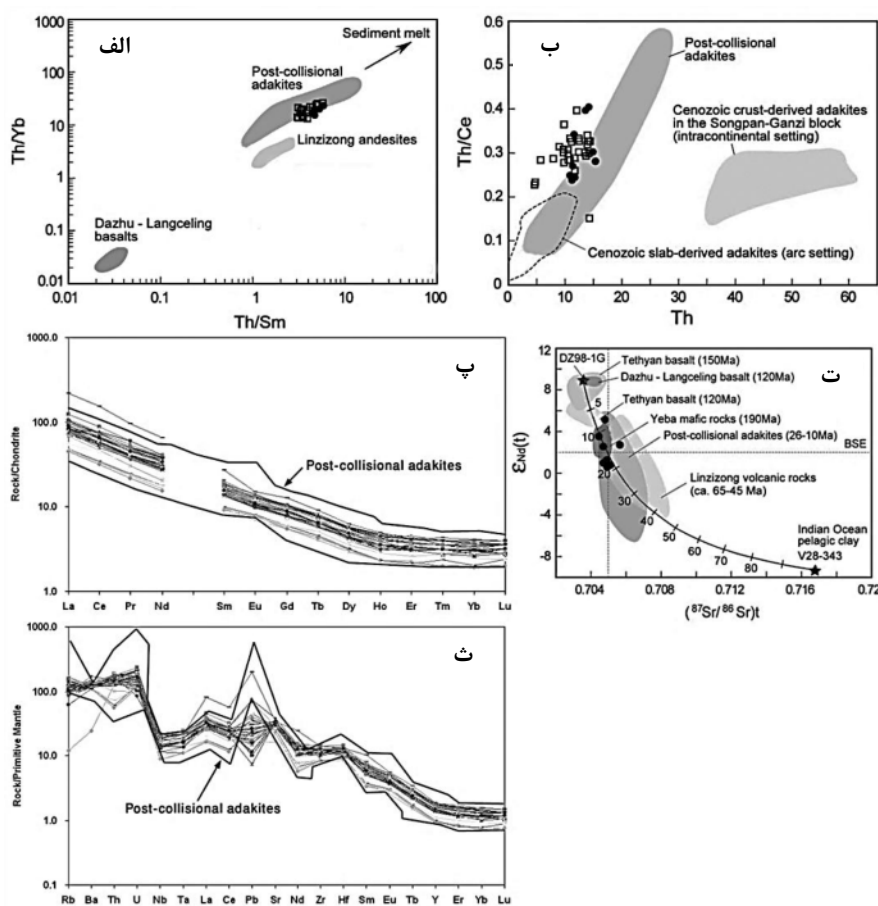
شکل ۷ (الف) نمودار Y در مقابل Sr/Y از [۱۷] و (ب) نمودار $\text{La}/\text{Yb}(n)$ در مقابل $(\text{Yb})n$ برگرفته از [۱] برای نمونه های مورد بررسی، گستره های مشخص شده همانند شکل ۳b نمادها همچون شکل ۳.

بعضی از روندهای نمودار هارکر نشانه‌هایی از جدایش بلوری دیده می‌شود ولی میزان این جدایش بلوری به حدی نبود که بتواند تغییرات فاحشی در ژئوشیمی سنگها ایجاد کند. چگونگی پراکنش نمونه‌ها در نمودار La/Yb به La نسبت به گونه‌ای است که نشان می‌دهد که تاثیر فرایند ذوب بخشی بیشتر از تاثیر جدایش بلوری بر ژئوشیمی این سنگ‌هاست (شکل ۹-الف). با در نظر گرفتن مقادیر بالای Sr در سنگ‌ها در مورد بررسی و عدم وجود بیهنجاری منفی مشخص در Eu در الگوی REEs، می‌توان گفت که پلاژیوکلاز در مواد خاستگاه این سنگ‌ها حضور ناچیز داشته است. تهی شدگی در تعدادی از عناصر HFS در این سنگ‌ها نیز نشان دهنده حضور روتیل و آمفیبول در باقیمانده خاستگاه و به احتمالی خاستگاه آمفیبول-اکلوژیت این سنگ‌هاست (شکل ۹-ب).

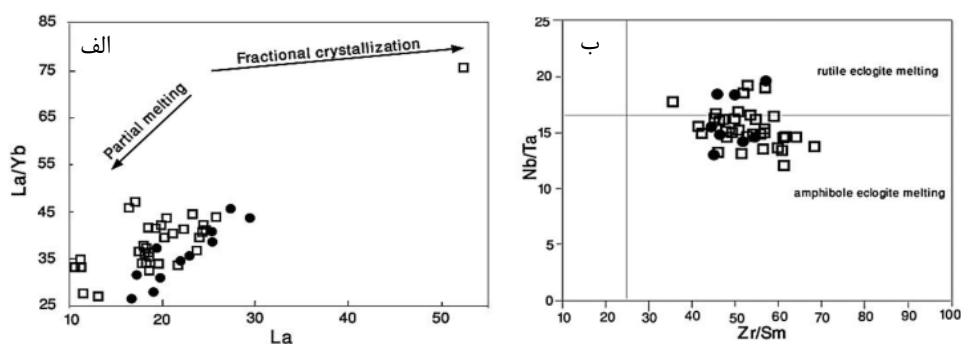
ویژگی‌های ژئوشیمیایی سنگ‌های مورد بررسی همچون مقادیر Th و نسبت‌های Th/Ce، Th/Yb و Th/Sm نشان می‌دهند که این سنگ‌ها در یک جایگاه پسا برخورد ایجاد شده‌اند (شکل‌های ۸-الف و ب). همچنین الگوی عناصر نادر خاکی و چند عنصری این سنگ‌ها که به ترتیب به کندریت و گوشه‌های اولیه بهنجار شده‌اند در گستره‌ی آداکیت‌های پسا برخورد واقع شده‌اند (شکل‌های ۸-پ و ت). حتی نسبت‌های ایزوتوپی Sr، Nd هیز نشان دهنده محیط پسا برخورد برای گنبد آداکیتی کیامکی هستند (شکل ۸-ث).

بحث و برداشت

سنگ‌های گنبد کیامکی دارای بالاترین مقدار Nd_{I} و کمترین مقدار اولیه $^{87}\text{Sr}/^{86}\text{Sr}$ هستند (جدول ۱)، این نشان می‌دهد که در پیدایش این سنگ‌ها فرایند AFC (آلایش ماقمایی، هضم پوسته‌ای یا جدایش بلوری) نقش مهمی نداشته‌اند. گرچه در



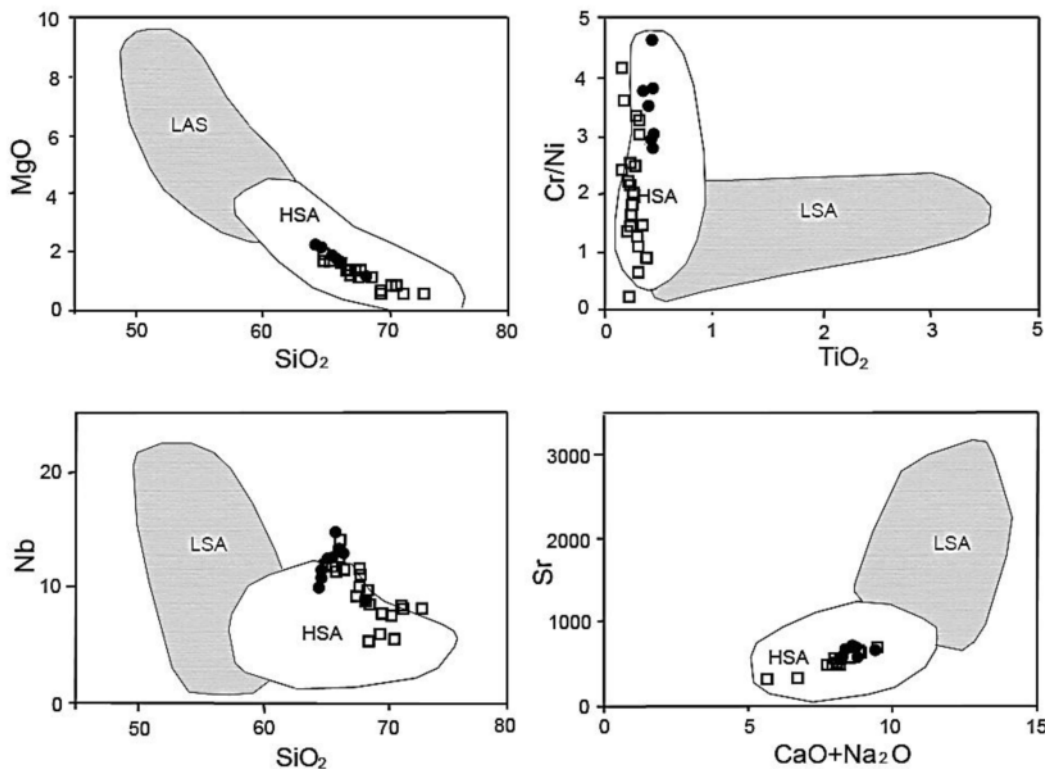
شکل ۸ (الف) نمودار Th/Sm نسبت به (ب)، (پ و ت) نمودارهای عناصر نادر خاکی و چند عنصری نرماییز شده به کندریت و گوشه‌های اولیه بهتری و گستره‌های آداکیت‌های مشخص شده برای آداکیت‌های بعد تصادم از [۱۹]، (ث) نمودار نسبت‌های ایزوتوپی Sr، Nd برگرفته از [۲۰]. نمادها همچون شکل ۳.



شکل ۹ (الف) نمودار La/Yb نسبت به La نسبت به La/Sm [۲۱] و (ب) نمودار Nb/Ta نسبت به Zr/Sm [۲۱]. نمادها همچون شکل ۳.

فلسیک صفحه‌ی فرورونده قرارگرفته، نسبت می‌دهند [۲۲]. مقادیر Sr در نمونه‌های مورد بررسی ۷۵۰-۳۰۴ ppm برابر $\text{Na}_2\text{O}+\text{K}_2\text{O}$ ۸/۵-۶/۵ درصد وزنی و درصد وزنی است که نشان دهنده‌ی گرایش آداسیت‌های مورد بررسی به نوع پرسیلیس است. در شکل ۱۰ نمونه‌ها بیشتر در بخش پرسیلیس واقع شده‌اند. بنابراین در پیداکش آداسیت‌های مورد بررسی گوهی گوشه‌ای دخالتی نداشته است.

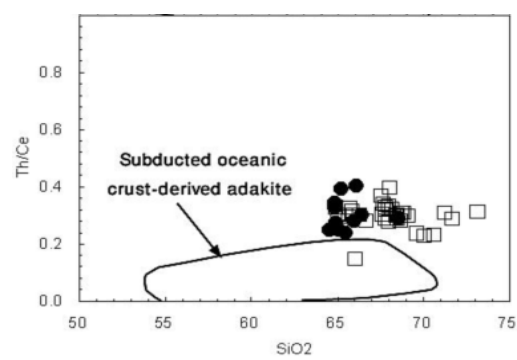
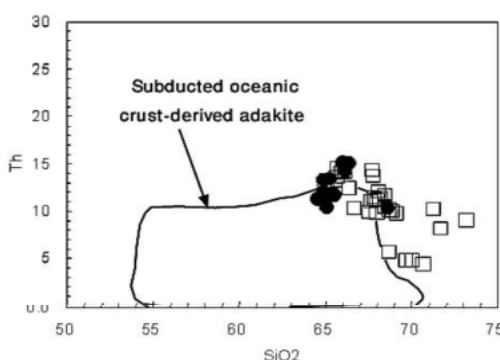
آداسیت‌ها به دو گروه پرسیلیس (با مقادیر $\text{Sr}<1100$ و $\text{Na}_2\text{O}+\text{K}_2\text{O}<11\text{wt}\%$) و کم‌پرسیلیس (با مقادیر $\text{Sr}>1000\text{ppm}$ ، $\text{MgO}=4-9\text{wt}\%$ و $\text{Na}_2\text{O}+\text{K}_2\text{O}>10\text{wt}\%$) تقسیم می‌شوند [۲۲]. خاستگاه آداسیت‌های پرسیلیس را به ذوب صفحه‌ی بازالتی فرورونده نسبت می‌دهند که می‌تواند با گوهی گوشه‌ای در طول صعود مagma واکنش دهد ولی خاستگاه آداسیت‌های کم‌پرسیلیس را به ذوب گوهی گوشه‌ای پریدوتیتی که ترکیب آن تحت تاثیر گدازه



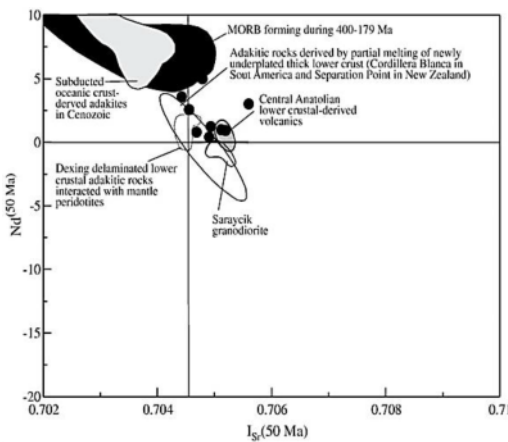
شکل ۱۰ نمودارهای تفکیک کننده آداسیت‌های پرسیلیس (HAS) از کم‌پرسیلیس (LSA) [۲۲]، مقادیر اکسیدها بر اساس درصد وزنی هستند. نمادها همچون شکل ۳.

Sr است (شکل ۱۱). در کنار این موارد، نسبت‌های ایزوتوبی Nd در شکل ۱۲ نشان می‌دهند که این سنگ‌ها از ذوب بخشی صفحه‌ی اقیانوسی فرورانده شده ایجاد نشده‌اند. این دلایل می‌توانند رد کننده‌ی مدل زایشی آداسیت‌های کیامکی بر مدل‌های اول و دوم باشند. در مورد مدل‌های چهارم و پنجم نیز سرشتی‌های ژئوشیمیایی سنگ‌های مورد بررسی تمایزی با این ژئوشیمی سنگ‌های حاصل از این مدل‌ها را نشان می‌دهند. در مقادیر SiO_2 و MgO و نسبت‌های $La/Yb_{(n)}$ و Zr/TiO_2 که در نمودارهای شکل‌های ۴b، ۷b و ۱۳ آورده شده‌اند، این تفاوت ژئوشیمیایی به خوبی نشان داده شد. یافته‌های ژئوشیمیایی و نسبت‌های ایزوتوبی Nd و Sr دهنده‌ی این‌اند که پیدایش سنگ‌های گنبدهای کیامکی می‌تواند مشابه سنگ‌هایی باشد که بر اساس مدل سوم به وجود آمده‌اند (شکل ۱۳).

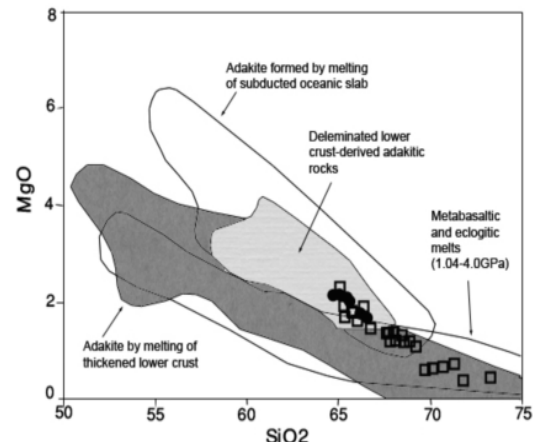
تا به حال پنج مدل برای سنگزایی آداسیت‌ها در محیط‌های مختلف ارائه شده‌اند [۱]: ۱) ذوب بخشی صفحه‌ی اقیانوسی فرورانده شده، ۲) تاثیر فرایندهای آلایش پوسته‌ای و جدایش بلوری روی ماقمای مادر بازالتی، ۳) ذوب بخشی سنگ‌های مافیک در بخش زیرین پوسته‌ی ضخیم شده، ۴) ذوب بخشی اسلب و امانده در گوشه‌های پایین است. این نسبت با ریشه‌گیری سنگ‌ها از ذوب بخشی پوسته‌ی اقیانوسی فرورانده شده و رسوب‌های اقیانوسی بالای آن در محیط فرورانشی حاشیه‌ی قاره‌ای و آلوگی آن با مواد پوسته‌ای همخوانی ندارد. سرشتی‌های ژئوشیمیایی این سنگ‌ها نیز از تاثیر بسیار جزیی فرایند ACF بر پیدایش آنها خبر می‌دهند. مقادیر Th و نسبت Th/Ce در نمونه‌های مورد بررسی بیشتر از مقادیر این عناصر در آداسیت‌های ناشی از ذوب پوسته‌ی اقیانوسی فرو رانده شده



شکل ۱۱ نمودارهای SiO_2 در مقابل Th/Ce . گستره مشخص شده برای آداسیت‌های حاصل از پوسته اقیانوس فرورانده شده از [۲۲]. نمادها همچون شکل ۳.



شکل ۱۲ نمودار نسبت ایزوتوبی Sr در مقابل Nd بر گرفته از [۱۲] برای نمونه‌های کیامکی.



شکل ۱۳ نمودار SiO_2 در مقابل MgO بر گرفته از [۲۲] برای نمونه‌های کیامکی. نمادها همچون شکل ۳.

گسل تبریز دیدگاه ژئوینامیک منطقه را کمی پیچیده کرده است.

در یک بررسی، وجود سنگ‌های آتشفشاری ائوسن در شمال گسل تبریز، (زون البرز- آذربایجان) و عدم حضور چنین سنگ‌هایی در جنوب گسل تبریز و وجود اثرهایی از بقایای پوسته‌ی اقیانوسی در راستای گسل تبریز را به عنوان شواهدی در نظر گرفته و اقدام به ارائه یک مدل ژئوینامیکی کردند [۳۳]. آن‌ها یک حوضه اقیانوسی تقریباً موازی حوضه اقیانوسی نئوتیس در راستای گسل تبریز بنام خوی- زنجان در مزوژوئیک (کرتاسه) تصور کردند؛ با این حال برخی از پژوهشگران آنچه را تاکنون در این منطقه رخنمون دارد، را مجموعه‌ی درهم بازالت دگرسان، دیاباز و آهک‌های پلازی به سن کرتاسه فوقانی، و نه مجموعه افیولیتی در نظر میگیرند. پوسته‌ی اقیانوسی این حوضه با فروزانش به سمت شمال شرقی، یعنی به زیر زون البرز- آذربایجان کنونی، در پالئوژن بسته شده است. این فروزانش موجب شکل‌گیری سنگ‌های آتشفشاری در زون البرز- آذربایجان در ائوسن شده است. علیرغم این یافته‌ها، وجود رخنمونی از سنگ‌های ائوسن در جنوب مراغه و نیز سنگ‌های آتشفشاری ائوسن در مسیر جنوب گسل تبریز از بستان آباد تا میانه، چنین فروزانشی را تایید نمی‌کند. با توجه به مواردی همچون گسترش گنبد کیامکی با سن میوسن فوقانی در شمال گسل تبریز، ژئو این گنبد در ارتباط با محیط پسا برخورد باستی مورد توجه و بررسی بیشتری قرار گیرد. زیرا با بسته‌شدن نئوتیس و برخورد بین دو بلوك قاره‌ای ضخیم‌شدگی نسبی پوسته‌ی زیرین در محل برخورد ایجاد می‌شود. به طور کلی پس از برخورد قاره‌ای وضعیت انبساطی و کششی حاکم می‌شود و دلمینه شدن پوسته تحتانی مافیک در نتیجه این رژیم کششی صورت می‌گیرد. نمونه‌های زیادی از آداکیت‌های حاصل از ذوب، پوسته پایینی دلمینه شده در زون‌های برخورده و به دلیل حاکم شدن شرایط کششی لیتوسفر گزارش شده است [۳۴]. در زمان میوسن در اثر ذوب بخشی این پوسته‌ی ضخیم شده گنبدهایی مانند کیامکی با سرشت آداکیتی ایجاد شده‌اند. البته نبود داده‌های سال سنجی دقیق در مورد سن گنبد کیامکی از محدودیت‌های این بررسی است. با توجه به سن زمین شناسی و ایزوتوبی [۲۸] جوان‌تر از سن بسته شدن نئوتیس برای گنبد کیامکی می‌توان

تشکیل آداکیت‌ها از ذوب مواد مافیک پوسته‌ی تحتانی نیازمند شرایط گرمایی غیرعادی داغ است [۲۴]. ذوب بخشی پروتولیت‌های مافیک تنها در رخسارهای انتقالی آمفیبولیت به اکلوژیت در حداقل فشار ۱۵ تا ۲۵ کیلو بار و در طیف دمایی ۷۰۰ تا ۹۰۰ درجه‌ی سانتیگراد ممکن می‌شود [۲۵]. تشکیل آداکیت‌ها از ذوب پوسته‌ی بازالتی تحتانی در کمان‌های قاره‌ای واقع بر یک پوسته‌ی ضخیم نیز اشاره شده است [۲۶]. در بررسیهای دیگر به تشکیل آداکیت‌ها از طریق ذوب پوسته‌ی تحتانی و ایجاد تهی شدگی از عناصر لیتوفیل بزرگ یون در گرانولیت‌های پوسته اشاره کردند [۲۷].

در پایان بنابر بررسی‌ها و یافته‌های این پژوهش، گنبد آداکیتی کیامکی می‌تواند از ذوب بخشی پوسته‌ی زیرین دلمینه شده در یک محیط پسا برخورد شکل گرفته باشد. ویژگی پسا برخورد این سنگ‌ها نشان دهنده‌ی این است که این سنگ‌ها پسا از برخورد به حاشیه‌ی دو بلوك قاره‌ای و پس از اتمام فروزانش به وجود آمدند. سال‌سنجمی جدید انجام شده به روش U-Pb روی کانی زیرکن برای سنگ‌های کیامکی، سنی برابر با $10/25 \pm 0/10$ میلیون سال (میوسن فوقانی، تورتونین) را نشان داده است [۲۸]. این سن با سن زمین‌شناسی میوسن، بر اساس مشاهدات صحرایی، در این پژوهش همخوانی دارد. اگر شکل‌گیری این گنبد و گنبدهای کناری را فروزانش نئوتیس وابسته تصور کنیم توجیه ویژگی‌های پسا برخورد این گنبدها امکان پذیر خواهد بود زیرا که امروزه برخی زمین‌شناسان بر این باور اتفاق نظر دارند که بسته شدن بخش-هایی از نئوتیس در میوسن و پیش از آن رخ داده است [۲۹]. از طرف دیگر گسترش این گنبدها در بخش‌های شمالی و جنوبی گسل تبریز نیز از مسائلی است که در توجیه ژئوتکتونیکی پیدا شد این گنبدها باید مورد نظر قرار بگیرد. در جنوب گسل تبریز آتشفشار سهند با سن میوسن تا کواترنری قرار دارد. واحدهای میوسن این آتشفشار سرشت آهکی-قلیایی ولی واحدهای جوان‌تر تا حدودی گراش به آداکیتی را نشان می‌دهند [۳۱]. همچنین مجموعه‌ی جزیره‌ی اسلامی نیز در جنوب گسل تبریز سرشت پسا برخوردی پتاسیم بالا را نشان می‌دهد [۳۲]. بر اساس پژوهش‌هایی که تاکنون انجام گرفته، از مجموعه‌های ماقمایی جنوب گسل تبریز با سن کمتر از میوسن میانی گزارشی از آداکیت‌ها نشده است. بنابراین وجود گنبدهای آداکیتی با سن کمتر از میوسن میانی در شمال

[۹] افتخار نژاد ج، عبداللهی م، حسینی م، "گزارش نقشه زمین شناسی ورقه جلفا با مقیاس ۱/۱۰۰۰۰۰، سازمان زمین شناسی و اکتشافات معدنی کشور ۱۳۷۵

[10] Middlemost E. A. K., "Naming materials in the magma/igneous rock system", *Earth Science Reviews* 37 (1994) 215–224.

[11] Winchester J.A., Floyd P.A., "Geochemical discrimination of different magma series and their differentiation products using immobile elements", *Chemical Geology* 20 (1977) 325–343.

[12] Orhan Karsli O., Dokuz A., Uysal İ., Aydin F., Kandemir R., Wijbrans J., "Generation of the Early Cenozoic adakitic volcanism by partial melting of mafic lower crust, Eastern Turkey: Implications for crustal thickening to delamination", *Lithos* 114 (2010) 109–120.

[13] Pearce J.A., Peate D.W., "Tectonic implications of the composition of volcanic arc magmas". *Annual Review of Earth and Planetary Sciences* 23 (1995) 251–285.

[14] Ayers J.C., Watson E.B., "Solubility of apatite, monazite, zircon, and rutile in super critical fluids with implications for subduction zone geochemistry", *Phil. Trans. R. Soc. London A*, 335 (1991) 365–375.

[15] Pearce J.A., "The role of sub-continentallithosphere magma genesis at destruction platemargin, In continental basalts and mantle Xenolites" (1983).

[16] Sun S.S., MC Donough W.F., "Chemical andisotopic systematics of oceanic basalts: implications for mantle composition andprocesses", In: Saunders, AD. And Norry , M.J.(eds), Magmatism in oceanic basins. Geological Society of London Special Publication, 42 (1989) 313-345.

[17] Petrone CM, Francalanci L, Ferrari L, Schaaf P, Conticelli S., "The San Pedro-Cerro Grande Volcanic Complex (Nayarit, Mexico): inferences on volcanology and magma evolution ", In: Siebe C, Aguirre-Déaz G, Macéas JL (eds) Neogene-Quaternary continental margin volcanism: a perspective from Mexico. Geological Society of America, 402(2006), 65–98.

[18] Mo X.X., Hou Z.Q., Niu Y.L., Dong G.C., Qu X.M., Zhao Z.D., Yang Z.M., "Mantle contributions to crustal thickening during continental collision: evidence from Cenozoic igneous rocks in southern Tibet", *Lithos* 96 (2007) 225–242.

پیداش این گند را به ذوب پوسته ضخیم شده پس از برخورد وابسته دانست.

برداشت

سنگهای آتشفشنایی تا نیمه ژرف گند کیامکی، ترکیب چیره داسیتی داشته و بر اساس شواهد صحرایی به درون واحد سرخ بالایی نفوذ کرده و به وسیله‌ی واحدهای سنگی پلیوسن در برخی مناطق پوشیده شده است. این سنگها از نوع آدکیت‌های پر سیلیس هستند. با توجه به سن نسبی میوسن و مطلق $10/25 \pm 0/10$ میلیون سال (میوسن فوقانی، تورتونین) برای سنگهای گند کیامکی و بسته شدن پیش از میوسن نئوتیس، خاستگاه پسا برخورد گند آدکیتی در اثر ذوب بخشی سنگهای مافیک پوسته زیرین دلمینه و ضخیم شده منطقی به نظر میرسد.

مراجع

- [1] Wang Q., Xu J., Jian P., Bao Z., Zhao Z., Li C., Xiong X., "Petrogenesis of Adakitic Porphyries in an Extensional Tectonic Setting, Dexing, South China: Implications for the Genesis of Porphyry Copper Mineralization", *Jouranl of Petrology* 47(2006) 119–144.
- [2] Shahabpour J., "Tectonic evolution of the orogenic belt in the region located between Kerman and Neyriz", *Journal of Asian Earth Sciences* 24 (2005) 405–417.
- [3] Omrani J., Agard P., Whitechurch H., Benoit M., Prouteau G., Jolivet, L., "Arcmagmatism and subduction history beneath the Zagros Mountains, Iran: a new report of adakites and geodynamic consequences", *Lithos* 106 (2008) 380–398.
- [4] Jahangiri A., "Post-collisional Miocene adakitic volcanism in NW Iran:Geochemical and geodynamic implications", *Journal of Asian Earth Sciences* 30 (2007) 433–447.
- [5] Asadian A., "Geological map of Tabriz, 1:250000", Geological Survey of Iran (1993).
- [6] Alavi M., "Tectonics of the Zagros Orogenic belt of Iran: new data andinterpretations", *Tectonophysics*, 220 (1994) 211–238.
- [7] Nabavi M., "An introduction to geology of Iran", GSI Publication, Tehran (1976).
- [8] Aghanabati A., "Geology of Iran", GSI Publication, Tehran (2004).

- Adakitic Dome, Southeast of Julfa (Northwest of Iran)", Arabian Journal of Geosciences (under review).*
- [29] Azizi H., Moinevaziri H., "Review of the tectonic setting of Cretaceous to Quaternary volcanism in northwestern Iran", *Journal of Geodynamics* 47 (2009) 167–179.
- [30] Mehdipour Ghazi, J. M., Moazzen, M., Rahgoshay M., Moghadam H. S., "Geochemical characteristics of basaltic rocks from the Nain ophiolite (Central Iran); constraintson mantle wedge source evolution in an oceanic back arc basin and a geodynamical model", *Tectonophysics*, 574–575 (2012) 92–104.
- [31] Alishah F., Jahangiri A., "Post-collisional pliocene to pleistocene adakitic volcanism in Sahand region in Northwest Iran: Geochemical and geodynamic implications", *Physical Sciences Research International* 1(2013), 62-75.
- [32] Hajalilou B., Moayyed M., Hosseinzadeh G., "Petrography, geochemistry and geodynamic environment of potassic alkaline rocks in Eslamy peninsula, northwest of Iran". *Journal of Earth System Science*, 118 (2009) 643–657.
- [33] Azizi H., Jahangiri A., "Cretaceous subduction-related volcanism in the northern Sanandaj-Sirjan Zone, Iran", *Journal of Geodynamics* 45 (2008) 178–190.
- [34] Wang Q., Wyman D.A., Zhao Z.H., Xu J.F., Bai Z.H., Xiong X.L., Dai T.M., Li C.F., Chu Z.Y., "Petrogenesis of Carboniferous adakites and Nb-enriched arc basalts in the Alataw area, northern Tianshan Range (western China): implication for Phanerozoic crustal growth of Central Asia Orogenic Belt", *Chemical Geology* 236 (2007), 42–64.
- [35] Xu, J.F., Shinjio R., Defant M.J., Wang Q., Rapp R.P., "Origin of Mesozoic adakitic intrusive rocks In the Ningzhen area of east China: partial melting of delaminated lower continental crust?", *Geology* 12 (2007), 1111–1114.
- [19] Guo Z.F., Wilson M., Liu J.Q., "Post-collisional adakites in south Tibet: products of partial melting of subduction-modified lower crust", *Lithos* 96 (2007) 205–224.
- [20] Zhu D-C., Zhao Z-D., Pan G-T., Lee H-Y., Kang Z-Q., Liao Z-L., Wang L-Q., Li G-M., Dong G-C., Liu B., "Early cretaceous subduction-related adakite-like rocks of the Gangdese Belt, southern Tibet: Products of slab melting and subsequent melt–peridotite interaction?" *Journal of Asian Earth Sciences* 34 (2009) 298–309.
- [21] Foley S , Tiepolo M., Vannucci. R., "Growth of early continental crust controlled by melting of amphibolite in subduction zones", *Nature* 417 (2002) 837-840.
- [22] Martin H., Smithies R.H., Rapp R., Moyen J.-F., Champion D., "An overview of adakite, tonalite–trondhjemite–granodiorite (TTG), and sanukitoid: relationships and some implications for crustal evolution", *Lithos* 79 (2005) 1–24.
- [23] Stern C.R., Kilian R., "Rôle of the subducted slab, mantle wedge and continental crust in the generation of adakites from the Austral Volcanic Zone", *Contributions to Mineralogy and Petrology*, 123(1996)263–281.
- [24] Peacock S.M., Rushmer T., Thompson A.B., "Partial melting of subducting oceanic crust", *Earth and Planetary Science Letters* 121(1994) 227-244.
- [25] Martin H., "Adakitic magmas: modern analogues of Archaean granitoids", *Lithos* 46 (1999) 411–429.
- [26] Atherton M.P., Petford N., "Generation of sodium-rich magmas from newly underplated basaltic crust", *Nature* 362 (1993) 144–146.
- [27] Rollinson H. R., Tarney J., 2005. "Adakites-The key to understanding LILE depletion in granulites", *Lithos* 79, 61-81.
- [28] Moharami F., Gorbani M., Pourmoafee M., Mirmohammadi M., "Age, Origin and Tectono-Magmatic Pattern of the Formation of Kimaki